

## **NOWCASTING SOLARE 23 OTTOBRE 2015**

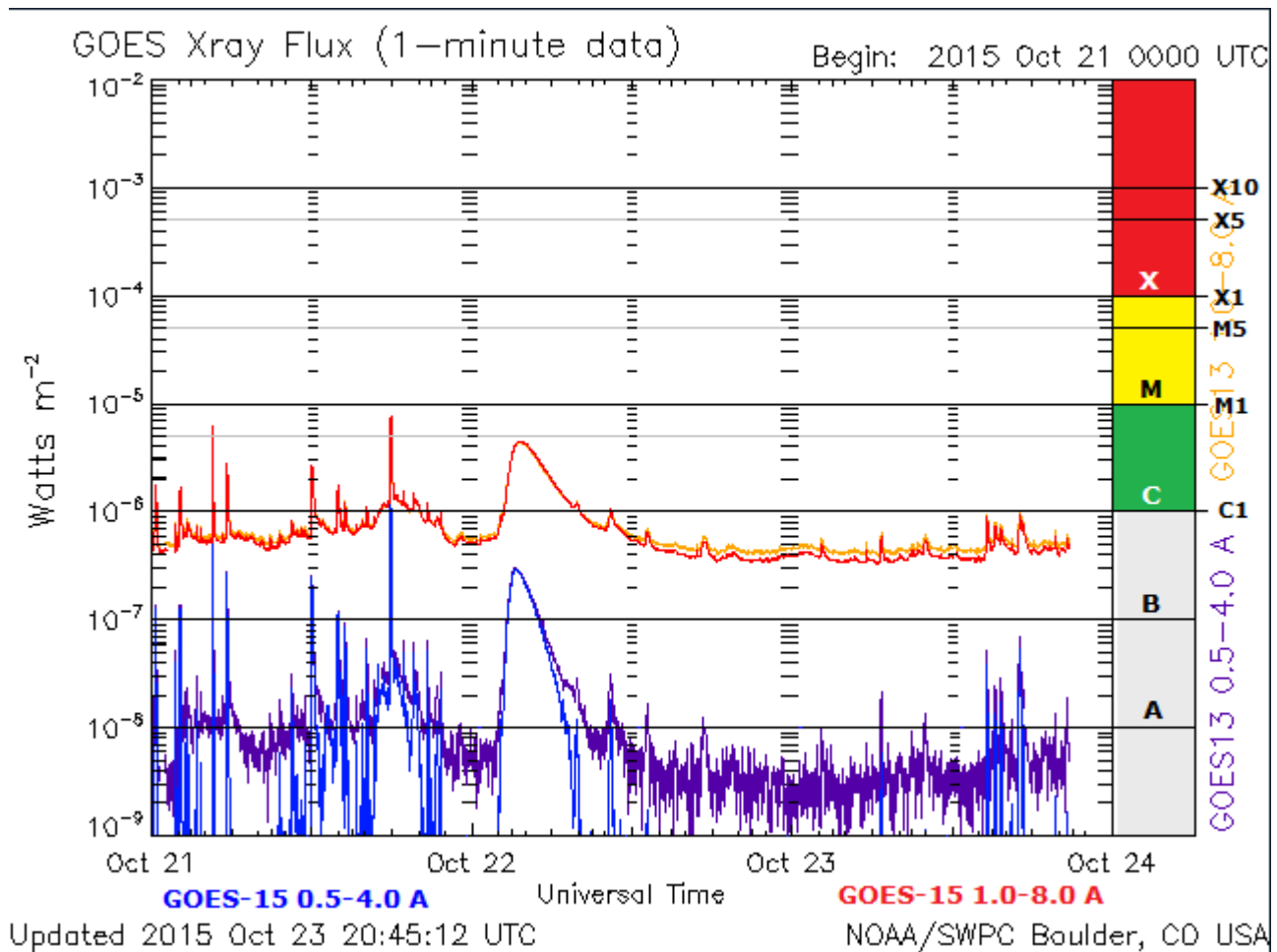
Nowcasting solare, sommario delle ultime 24 ore: Attività solare che nella giornata di oggi 23 Ottobre è rimasta a livelli molto bassi.

La Regione attiva 2436 (N09E01, Eki/beta-gamma) ha continuato nel suo debole decadimento e allo stesso tempo il consolidamento della zona di penombra, anche se persiste come essere la regione più grande e complessa sul disco solare visibile. La Regione 2434 (S09W54, Cao/beta) ha subito un moderato decadimento, mentre le restanti quattro regioni presenti sul disco solare sono rimaste relativamente stabili.

Nessuna espulsione di massa coronale (CME) è stata osservata in direzione

della Terra, dalle immagini del [LASCO](#) coronagraph imagery.

Previsioni prossime 72 ore: L'attività solare dovrebbe restare bassa con piccole possibilità di flare di classe M (R1-R2 (Minori-Moderati) Radio Blackout) per i prossimi tre giorni (24-26 ottobre). La Regione 2436 resta quella con maggior probabilità.



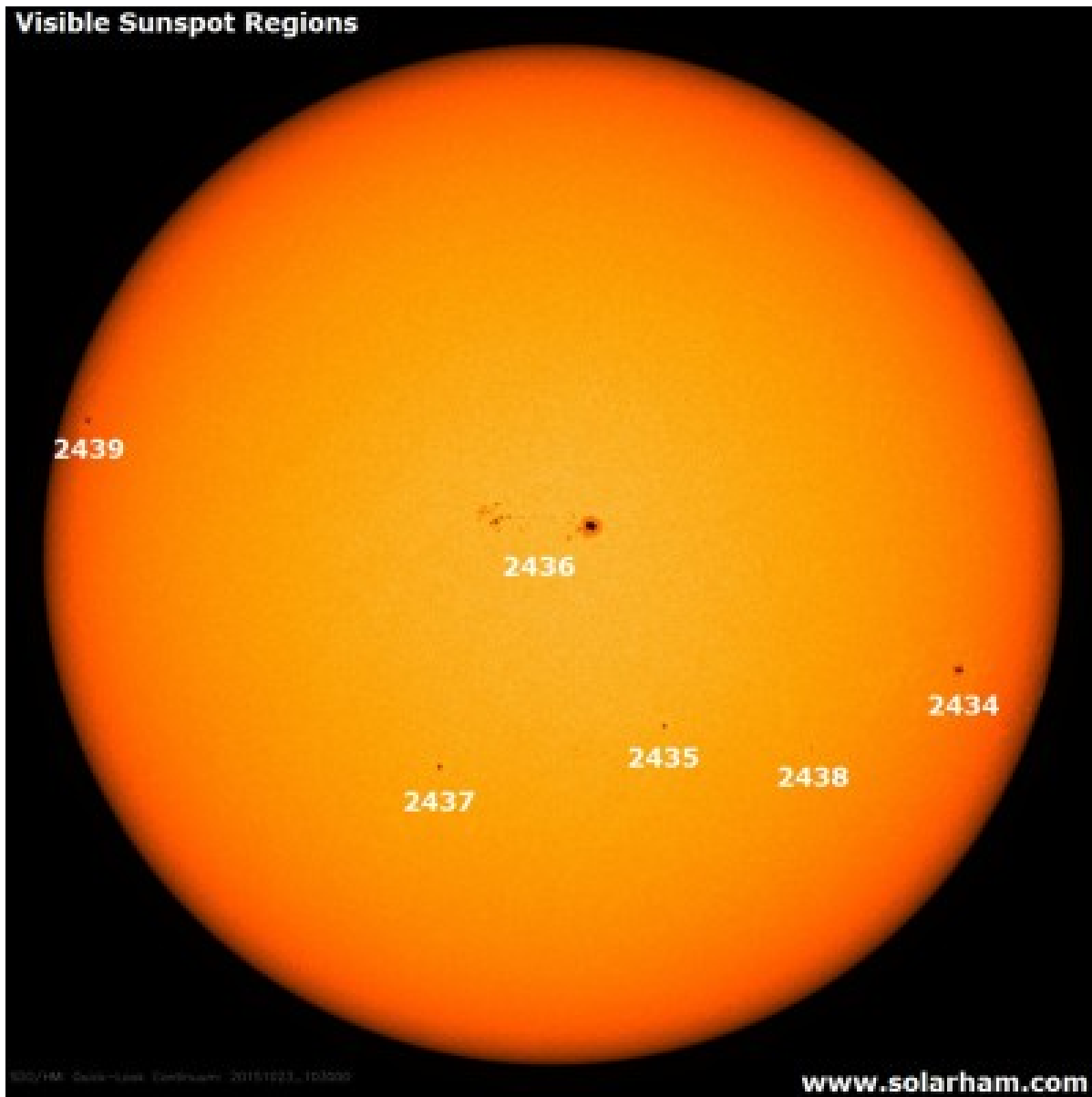
Il grafico dei [Raggi X](#) negli ultimi tre giorni

Ne consegue che:

Alle ore 18.00 UTC, il disco solare visibile presentava 6 [regioni attive](#) (in risoluzione 2K dalle immagini SDO/HMI Continuum):

Num count	Lat., class		CMD		Long.	Area	Extent	class
2434	S10W48	165	90	3	CA0	5	B	
2435	S15W09	126	10	1	HRX	1	A	
2436	N08E06	111	280	14	EKI	22	BG	
2437	S20E18	99	20	3	CA0	3	B	
2438	S18W25	142	10	2	BX0	2	B	

2439 N17E76 41 60 2 HAX 1 A



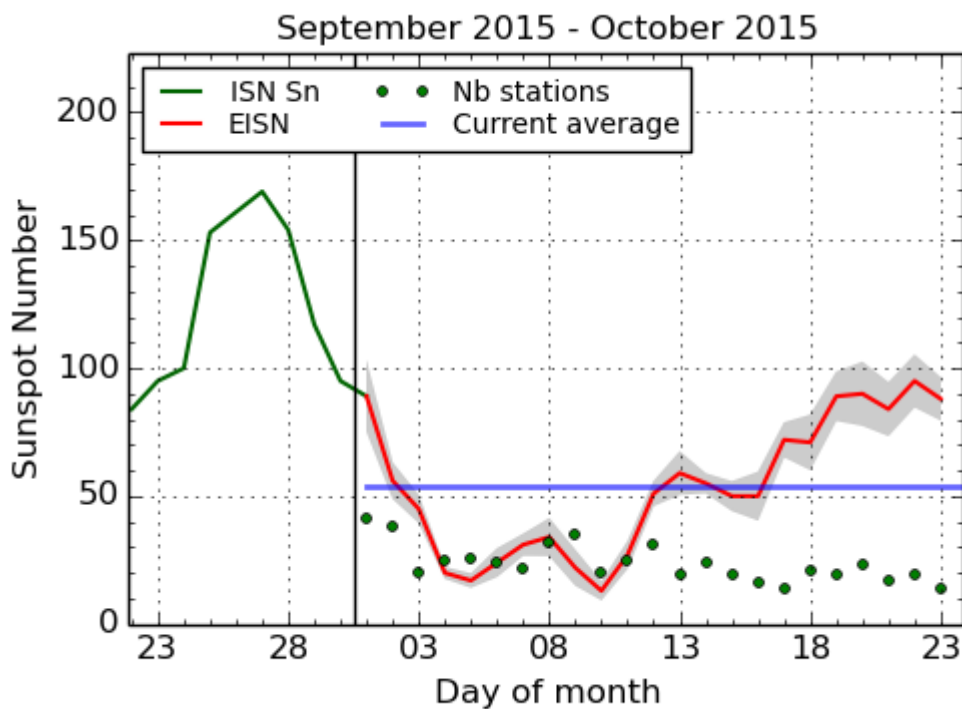
Il campo geomagnetico solare nel corso delle ultime 24 ore è risultato in stato "QUIET" mentre i Raggi X in stato "NORMAL"

La velocità del flusso solare (2,8 GHz) alle ore 20,00 del 23 Ottobre è risultata a 115.7 – (120.5)

La media mensile del flusso solare ad oggi risulta di 101.4 – (100.7)

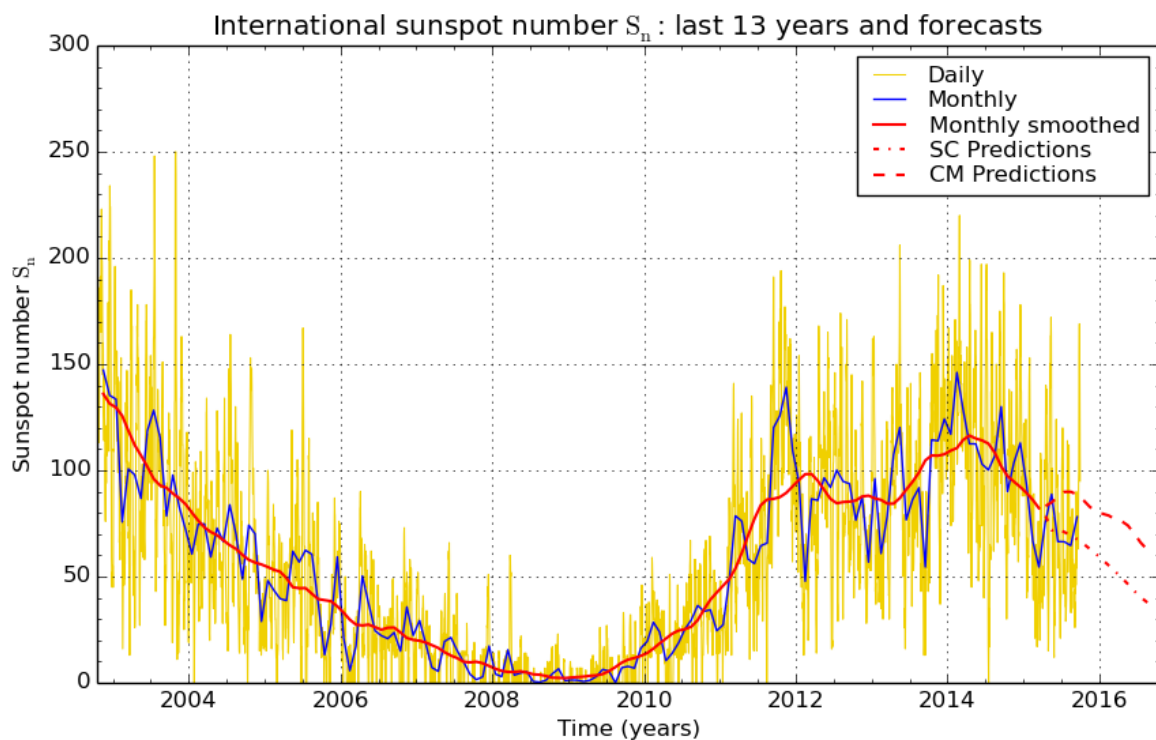
Il conteggio delle macchie solari (conteggio SILSO) del 23 Ottobre è risultato di 88 – (95) macchie.

La media mensile delle macchie solari ad oggi risulta di 54.3 – (52.8) SSN



SILSO graphics (<http://sidc.be/silso>) Royal Observatory of Belgium, 2015 October 23

*Il conteggio delle macchie solari (SILSO) nell'ultimo mese*



SILSO graphics (<http://sidc.be/silso>) Royal Observatory of Belgium 2015 October 2

*L'andamento dell'attività solare negli ultimi 13 anni e forecast (linea tratteggiata). Grafico del centro di conteggio SILSO*

La media mensile dell'indice Ap è risultata nella giornata di ieri di 17.6

La velocità del vento solare attuale è di 457.9 km/s

La densità del vento solare attuale è di 4.4 protons/cm<sup>3</sup>

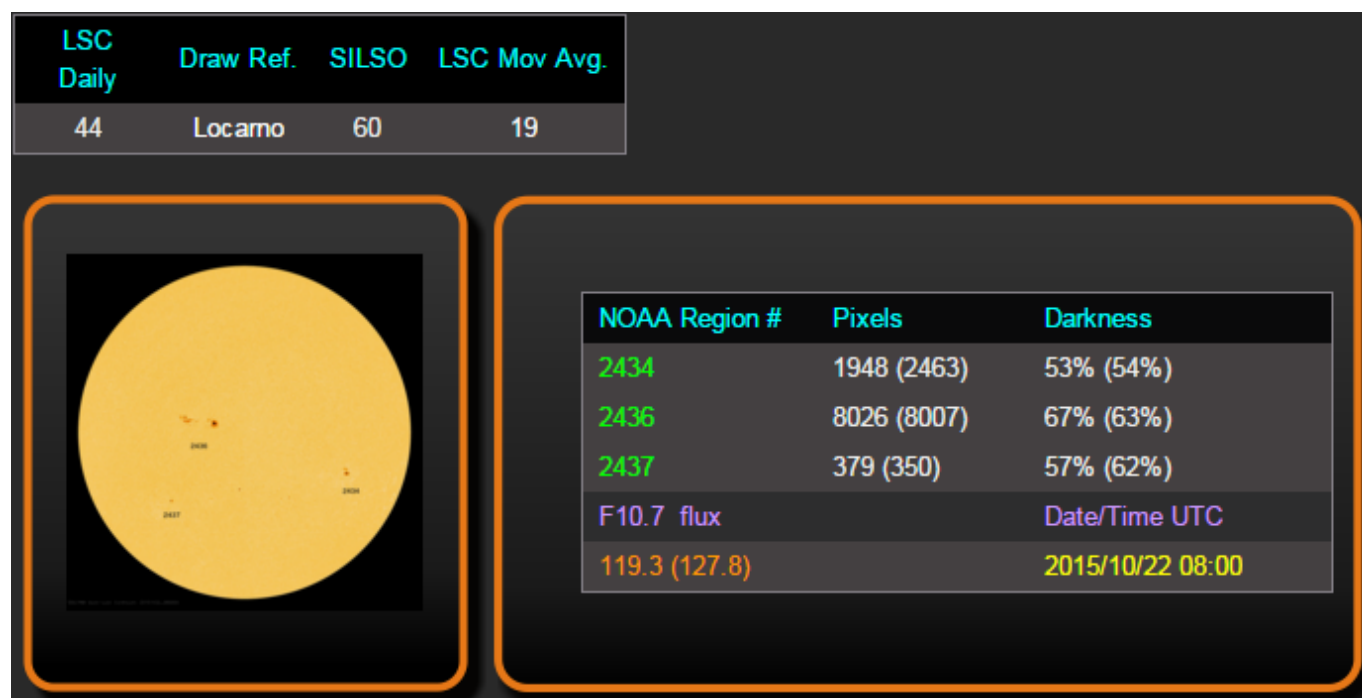
L'indice A attuale è di 6

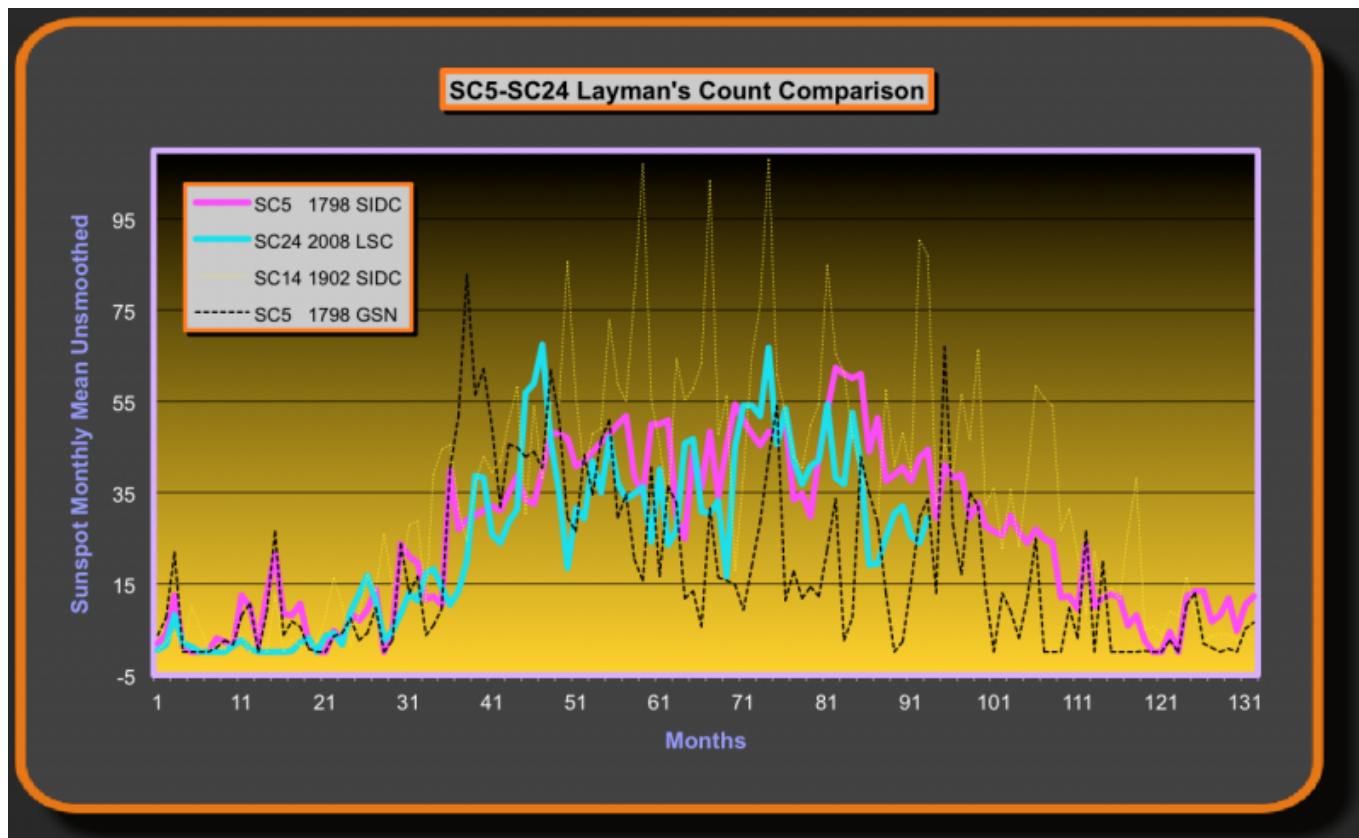
L'indice K attuale è di 2

Il flusso dei raggi X attuale risulta di classe B 4.8

La componente BZ attuale è di 3.8 nT

Il conteggio delle macchie solari con il metodo del Layman's sunspot count (gestito da Geoff Sharp), nella giornata del 22 Ottobre alle ore 08:00 (ultimo aggiornamento disponibile) è risultato con un conteggio di 44 macchie che portano la media mensile a 19 (SSN).





*Confronto tra i due cicli, il ciclo 5 (minimo di Dalton colore fucsia) e il ciclo 24 (ciclo attuale colore azzurro) per il metodo di conteggio del Layman's*

### **Aggiornamento del Campo Magnetico Polare del 20 Ottobre 2015**

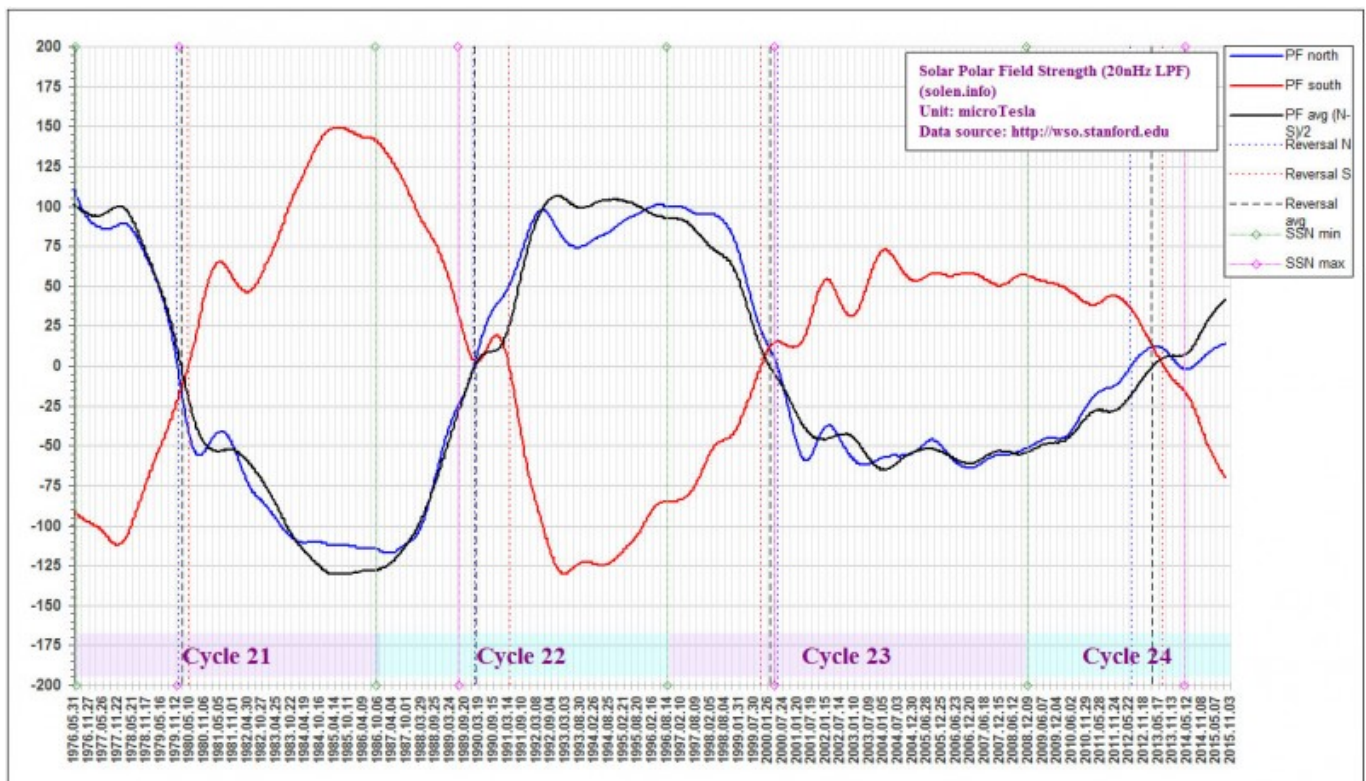
Come nostra consuetudine diamo uno sguardo all'ultimo aggiornamento del campo magnetico solare, sui dati raccolti dal prestigioso Osservatorio di Wilcox Solar Observatory (WSO) dell'Università di Stanford.

Il dati aggiornati il 20 Ottobre 2015 e che fanno riferimento al 04 Ottobre 2015, mettono ancora una volta in evidenza di come l'emisfero nord abbia ormai intrapreso una marcia molto rallentata. In questo aggiornamento l'emisfero nord avanza di un punto e si porta a 16Nf. Anche l'emisfero sud avanza di un punto e si porta a -72Sf. Ne consegue che anche il dato mediato avanza di un punto e si porta a 44Avgf.

2015:01:07_21h:07m:13s	3N	-42S	22Avg	20nhz	filt:	7Nf	-48Sf	27Avgf
2015:01:17_21h:07m:13s	9N	-45S	27Avg	20nhz	filt:	8Nf	-49Sf	28Avgf
2015:01:27_21h:07m:13s	18N	-41S	29Avg	20nhz	filt:	8Nf	-50Sf	29Avgf
2015:02:06_21h:07m:13s	10N	-45S	27Avg	20nhz	filt:	9Nf	-52Sf	30Avgf
2015:02:16_21h:07m:13s	8N	-48S	28Avg	20nhz	filt:	9Nf	-53Sf	31Avgf
2015:02:26_21h:07m:13s	8N	-51S	29Avg	20nhz	filt:	10Nf	-54Sf	32Avgf
2015:03:08_21h:07m:13s	17N	-50S	33Avg	20nhz	filt:	10Nf	-55Sf	33Avgf
2015:03:18_21h:07m:13s	27N	-49S	38Avg	20nhz	filt:	10Nf	-56Sf	33Avgf
2015:03:28_21h:07m:13s	24N	-52S	38Avg	20nhz	filt:	11Nf	-57Sf	34Avgf
2015:04:07_21h:07m:13s	15N	-56S	36Avg	20nhz	filt:	11Nf	-58Sf	35Avgf
2015:04:17_21h:07m:13s	11N	-59S	35Avg	20nhz	filt:	12Nf	-59Sf	35Avgf
2015:04:27_21h:07m:13s	13N	-61S	37Avg	20nhz	filt:	12Nf	-60Sf	36Avgf
2015:05:07_21h:07m:13s	16N	-64S	40Avg	20nhz	filt:	12Nf	-61Sf	37Avgf
2015:05:17_21h:07m:13s	15N	-66S	41Avg	20nhz	filt:	13Nf	-62Sf	37Avgf
2015:05:27_21h:07m:13s	12N	-80S	46Avg	20nhz	filt:	13Nf	-63Sf	38Avgf
2015:06:06_21h:07m:13s	6N	-76S	41Avg	20nhz	filt:	13Nf	-64Sf	38Avgf
2015:06:16_21h:07m:13s	5N	-75S	40Avg	20nhz	filt:	13Nf	-65Sf	39Avgf
2015:06:26_21h:07m:13s	5N	-74S	40Avg	20nhz	filt:	14Nf	-65Sf	39Avgf
2015:07:06_21h:07m:13s	10N	-74S	42Avg	20nhz	filt:	14Nf	-66Sf	40Avgf
2015:07:16_21h:07m:13s	13N	-74S	43Avg	20nhz	filt:	14Nf	-67Sf	40Avgf
2015:07:26_21h:07m:13s	13N	-69S	41Avg	20nhz	filt:	14Nf	-67Sf	41Avgf
2015:08:05_21h:07m:13s	12N	-66S	39Avg	20nhz	filt:	15Nf	-68Sf	41Avgf
2015:08:15_21h:07m:13s	14N	-63S	38Avg	20nhz	filt:	15Nf	-69Sf	42Avgf
2015:08:25_21h:07m:13s	17N	-64S	40Avg	20nhz	filt:	15Nf	-69Sf	42Avgf
2015:09:04_21h:07m:13s	19N	-67S	43Avg	20nhz	filt:	15Nf	-70Sf	43Avgf
2015:09:14_21h:07m:13s	19N	-68S	44Avg	20nhz	filt:	15Nf	-71Sf	43Avgf
2015:09:24_21h:07m:13s	20N	-70S	45Avg	20nhz	filt:	16Nf	-71Sf	44Avgf
2015:10:04_21h:07m:13s	22N	-71S	47Avg	20nhz	filt:	16Nf	-72Sf	44Avgf

I dati grezzi e filtrati del campo polare del sole

<http://wso.stanford.edu/Polar.html#latest>



L'andamento degli ultimi 4 cicli solari del Campo Polare solare

<http://www.solen.info/solar/polarfields/polar.html>

Enzo

Attività Solare